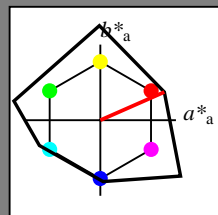


Eingabe: Farbmétrisches Reflexions-System NCS11

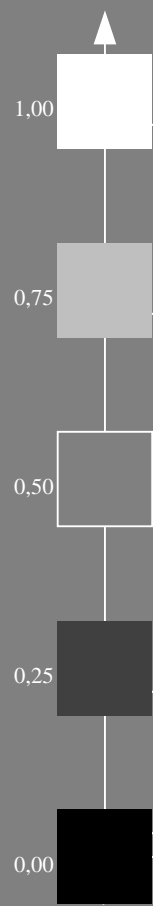
für Buntton $h^* = lab \cdot h = 24/360 = 0.066$
 $lab \cdot tch$ und $lab \cdot nch$

D65: Buntton R
LCH*Ma: 47 92 24
rgb*Ma: 1.0 0.0 0.0



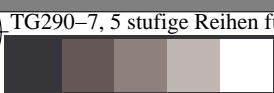
NCS11; adaptierte CIELAB-Daten					
	$L^*=L^*_a$	a^*_a	b^*_a	$C^*_{ab,a}$	$h^*_{ab,a}$
RMa	47.15	84.64	37.25	92.48	24
JMa	91.37	-1.27	125.03	125.03	91
GMa	63.07	-114.28	25.35	117.06	167
G50BMa	59.47	-80.6	-33.45	87.28	203
BMa	49.01	3.65	-81.19	81.28	273
B50RMa	44.06	106.09	-73.93	129.32	325
NMa	10.99	0.0	0.0	0.0	0
WMa	95.41	0.0	0.0	0.0	0
RCIE	39.92	58.69	27.98	65.01	25
JCIE	81.26	-2.9	71.56	71.62	92
GCIE	52.23	-42.45	13.59	44.59	162
BCIE	30.57	1.35	-46.48	46.51	272

Dreiecks-Helligkeit t^*



%Umfang
 $u^*_{rel} = 149$
%Regularität
 $g^*_{H,rel} = 46$
 $g^*_{C,rel} = 65$

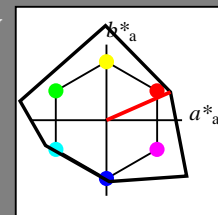
TG290-7, 5 stufige Reihen für konstanten CIELAB Buntton 24/360 = 0.066 (links)



Ausgabe: Farbmétrisches Reflexions-System NCS11

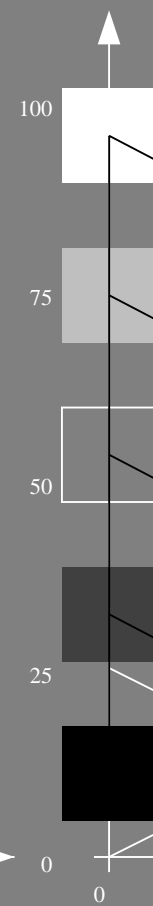
für Buntton $h^* = lab \cdot h = 24/360 = 0.066$
 $LAB \cdot LCH$, $LAB \cdot NCH$

D65: Buntton R
LCH*Ma: 47 92 24
rgb*Ma: 1.0 0.0 0.0



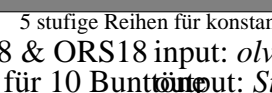
NCS11; adaptierte CIELAB-Daten					
	$L^*=L^*_a$	a^*_a	b^*_a	$C^*_{ab,a}$	$h^*_{ab,a}$
RMa	47.15	84.64	37.25	92.48	24
JMa	91.37	-1.27	125.03	125.03	91
GMa	63.07	-114.28	25.35	117.06	167
G50BMa	59.47	-80.6	-33.45	87.28	203
BMa	49.01	3.65	-81.19	81.28	273
B50RMa	44.06	106.09	-73.93	129.32	325
NMa	10.99	0.0	0.0	0.0	0
WMa	95.41	0.0	0.0	0.0	0
RCIE	39.92	58.69	27.98	65.01	25
JCIE	81.26	-2.9	71.56	71.62	92
GCIE	52.23	-42.45	13.59	44.59	162
BCIE	30.57	1.35	-46.48	46.51	272

CIELAB-Helligkeit L^*



%Umfang
 $u^*_{rel} = 149$
%Regularität
 $g^*_{H,rel} = 46$
 $g^*_{C,rel} = 65$

5 stufige Reihen für konstanten CIELAB Buntton 24/360 = 0.066 (rechts)



BAM-Prüfvorlage TG29; Farbmétrik-Systeme ORS18 & ORS18 input: $olv^* setrgbcolor$

D65: Koordinaten-Systeme von 5stufigen Farbreihen für 10 Buntton input: Startup (S) data dependend

Eingabe: Farbmétrisches Reflexions-System NCS11

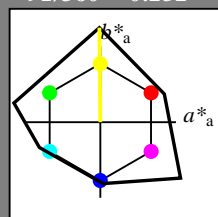
für Buntton $h^* = lab \cdot h = 91/360 = 0.252$

$lab \cdot tch$ und $lab \cdot nch$

D65: Buntton J

LCH*Ma: 91 125 91

rgb*Ma: 1.0 1.0 0.0



NCS11; adaptierte CIELAB-Daten					
	$L^*=L^*_a$	a^*_a	b^*_a	$C^*_{ab,a}$	$h^*_{ab,a}$
RMa	47.15	84.64	37.25	92.48	24
JMa	91.37	-1.27	125.03	125.03	91
GMa	63.07	-114.28	25.35	117.06	167
G50B _{Ma}	59.47	-80.6	-33.45	87.28	203
B _{Ma}	49.01	3.65	-81.19	81.28	273
B50R _{Ma}	44.06	106.09	-73.93	129.32	325
N _{Ma}	10.99	0.0	0.0	0.0	0
W _{Ma}	95.41	0.0	0.0	0.0	0
RCIE	39.92	58.69	27.98	65.01	25
JCIE	81.26	-2.9	71.56	71.62	92
GCIE	52.23	-42.45	13.59	44.59	162
BCIE	30.57	1.35	-46.48	46.51	272

Dreiecks-Helligkeit t^*

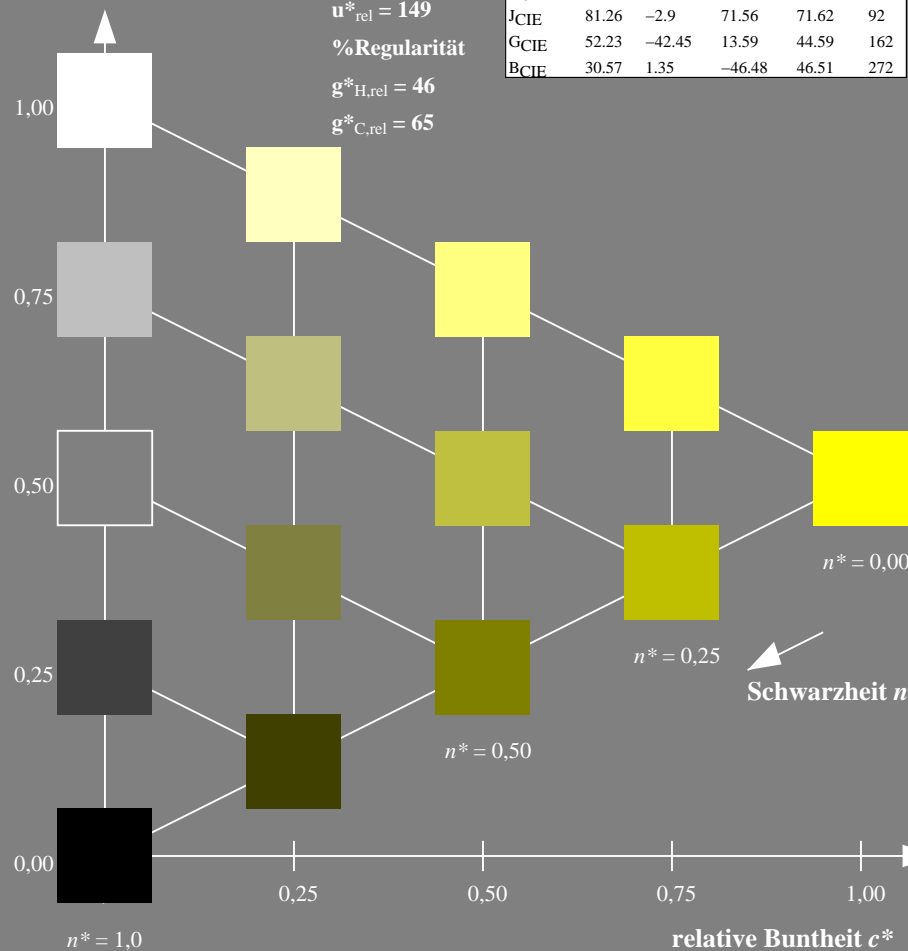
%Umfang

$u^*_{rel} = 149$

%Regularität

$g^*_{H,rel} = 46$

$g^*_{C,rel} = 65$



TG290-7, 5 stufige Reihen für konstanten CIELAB Buntton 91/360 = 0.252 (links)

BAM-Prüfvorlage TG29; Farbmétrik-Systeme ORS18 & ORS18 input: $olv^* setrgbcolor$

D65: Koordinaten-Systeme von 5stufigen Farbreihen für 10 Bunttoninput: *Startup (S) data dependend*

Ausgabe: Farbmétrisches Reflexions-System NCS11

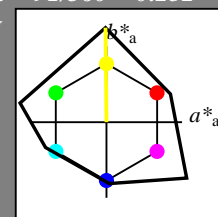
für Buntton $h^* = lab \cdot h = 91/360 = 0.252$

$LAB \cdot LCH$, $LAB \cdot NCH$

D65: Buntton J

LCH*Ma: 91 125 91

rgb*Ma: 1.0 1.0 0.0



NCS11; adaptierte CIELAB-Daten					
	$L^*=L^*_a$	a^*_a	b^*_a	$C^*_{ab,a}$	$h^*_{ab,a}$
RMa	47.15	84.64	37.25	92.48	24
JMa	91.37	-1.27	125.03	125.03	91
GMa	63.07	-114.28	25.35	117.06	167
G50B _{Ma}	59.47	-80.6	-33.45	87.28	203
B _{Ma}	49.01	3.65	-81.19	81.28	273
B50R _{Ma}	44.06	106.09	-73.93	129.32	325
N _{Ma}	10.99	0.0	0.0	0.0	0
W _{Ma}	95.41	0.0	0.0	0.0	0
RCIE	39.92	58.69	27.98	65.01	25
JCIE	81.26	-2.9	71.56	71.62	92
GCIE	52.23	-42.45	13.59	44.59	162
BCIE	30.57	1.35	-46.48	46.51	272

CIELAB-Helligkeit L^*

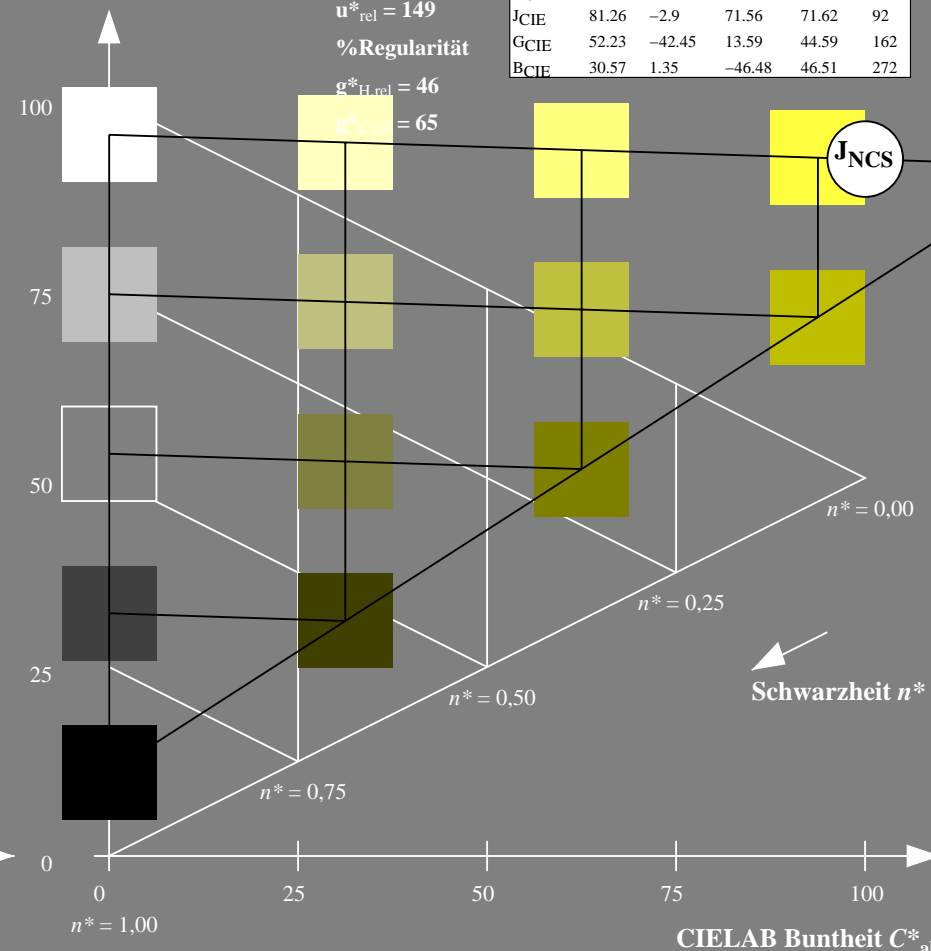
%Umfang

$u^*_{rel} = 149$

%Regularität

$g^*_{H,rel} = 46$

$g^*_{C,rel} = 65$

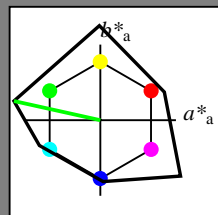


5 stufige Reihen für konstanten CIELAB Buntton 91/360 = 0.252 (rechts)

Eingabe: Farbmétrisches Reflexions-System NCS11

für Buntton $h^* = lab^*h = 167/360 = 0.465$
 lab^*tch und lab^*nch

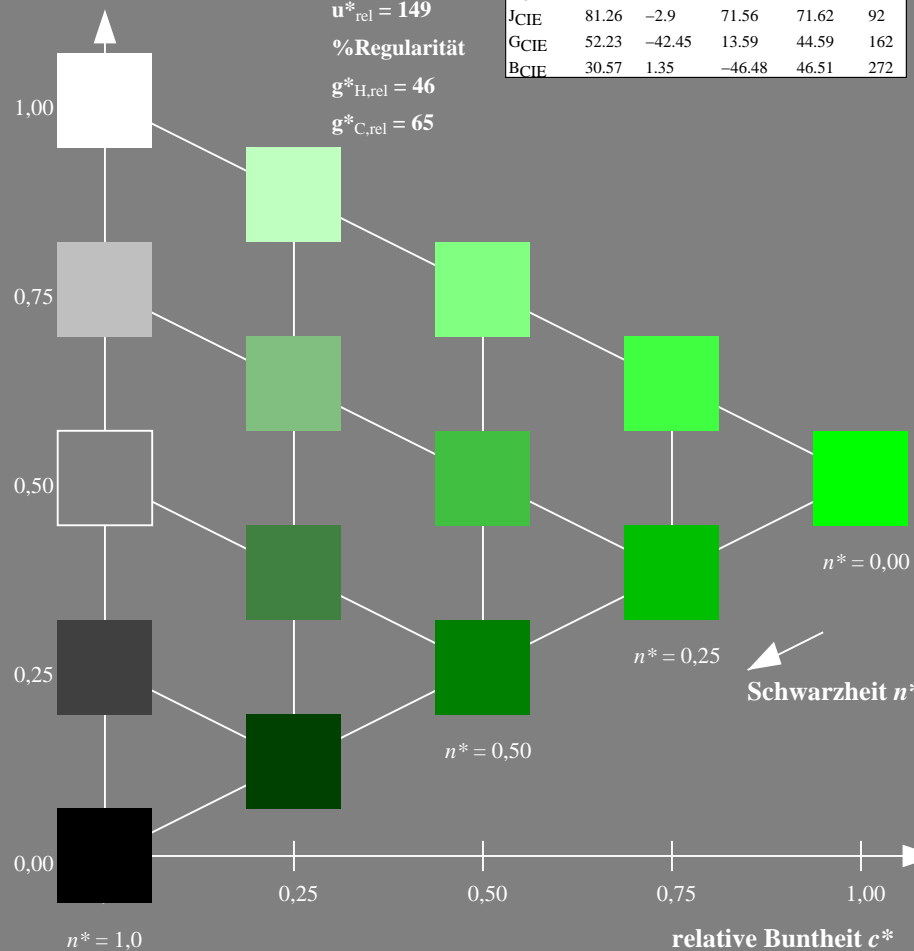
D65: Buntton G
LCH*Ma: 63 117 167
rgb*Ma: 0.0 1.0 0.0



NCS11; adaptierte CIELAB-Daten					
	$L^*=L^*_a$	a^*_a	b^*_a	$C^*_{ab,a}$	$h^*_{ab,a}$
RMa	47.15	84.64	37.25	92.48	24
JMa	91.37	-1.27	125.03	125.03	91
GMa	63.07	-114.28	25.35	117.06	167
G50BMa	59.47	-80.6	-33.45	87.28	203
BMa	49.01	3.65	-81.19	81.28	273
B50RMa	44.06	106.09	-73.93	129.32	325
NMa	10.99	0.0	0.0	0.0	0
WMa	95.41	0.0	0.0	0.0	0
RCIE	39.92	58.69	27.98	65.01	25
JCIE	81.26	-2.9	71.56	71.62	92
GCIE	52.23	-42.45	13.59	44.59	162
BCIE	30.57	1.35	-46.48	46.51	272

Dreiecks-Helligkeit t^*

%Umfang
 $u^*_{rel} = 149$
%Regularität
 $g^*_{H,rel} = 46$
 $g^*_{C,rel} = 65$



TG290-7, 5 stufige Reihen für konstanten CIELAB Buntton 167/360 = 0.465 (links)

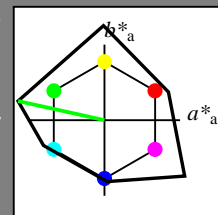
BAM-Prüfvorlage TG29; Farbmétrik-Systeme ORS18 & ORS18 input: $olv^* setrgbcolor$

D65: Koordinaten-Systeme von 5stufigen Farbreihen für 10 Bunttoninput: Startup (S) data dependend

Ausgabe: Farbmétrisches Reflexions-System NCS11

für Buntton $h^* = lab^*h = 167/360 = 0.465$
 LAB^*LCH , LAB^*NCH

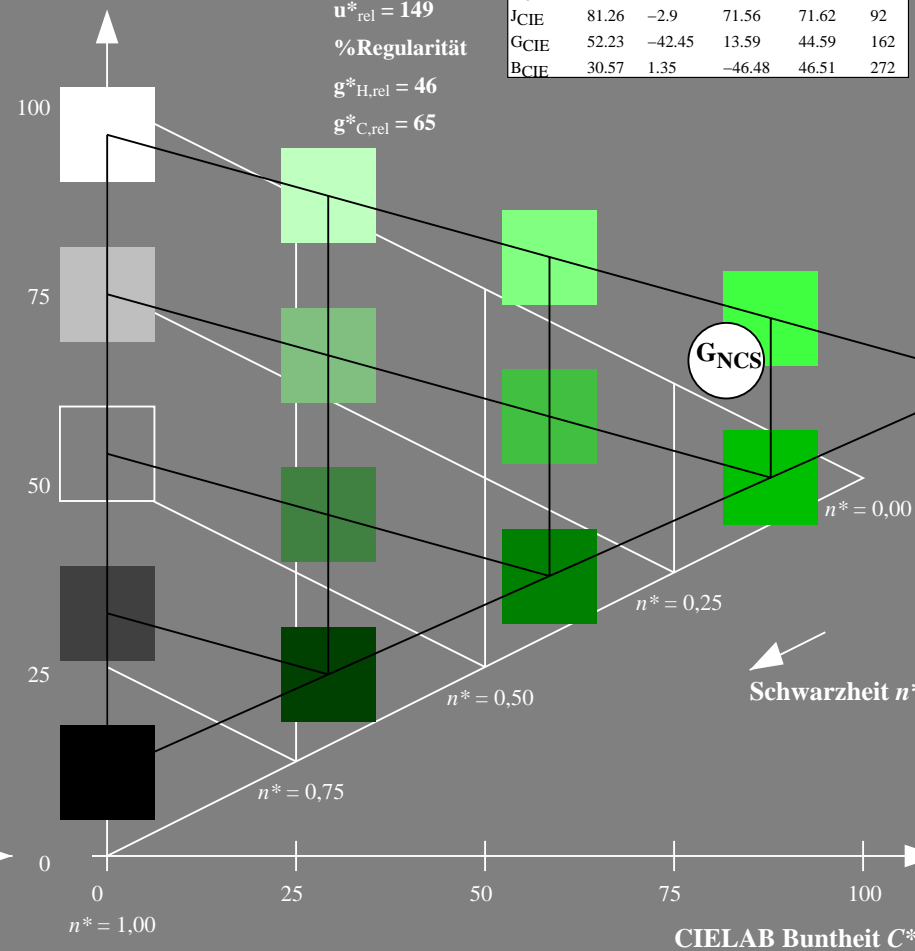
D65: Buntton G
LCH*Ma: 63 117 167
rgb*Ma: 0.0 1.0 0.0



NCS11; adaptierte CIELAB-Daten					
	$L^*=L^*_a$	a^*_a	b^*_a	$C^*_{ab,a}$	$h^*_{ab,a}$
RMa	47.15	84.64	37.25	92.48	24
JMa	91.37	-1.27	125.03	125.03	91
GMa	63.07	-114.28	25.35	117.06	167
G50BMa	59.47	-80.6	-33.45	87.28	203
BMa	49.01	3.65	-81.19	81.28	273
B50RMa	44.06	106.09	-73.93	129.32	325
NMa	10.99	0.0	0.0	0.0	0
WMa	95.41	0.0	0.0	0.0	0
RCIE	39.92	58.69	27.98	65.01	25
JCIE	81.26	-2.9	71.56	71.62	92
GCIE	52.23	-42.45	13.59	44.59	162
BCIE	30.57	1.35	-46.48	46.51	272

CIELAB-Helligkeit L^*

%Umfang
 $u^*_{rel} = 149$
%Regularität
 $g^*_{H,rel} = 46$
 $g^*_{C,rel} = 65$

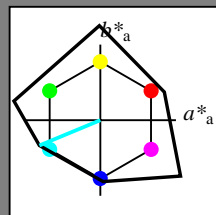


5 stufige Reihen für konstanten CIELAB Buntton 167/360 = 0.465 (rechts)

Eingabe: Farbmétrisches Reflexions-System NCS11

für Buntton $h^* = lab \cdot h = 203/360 = 0.563$
 $lab \cdot tch$ und $lab \cdot nch$

D65: Buntton G50B
LCH*Ma: 59 87 203
rgb*Ma: 0.0 1.0 1.0



NCS11; adaptierte CIELAB-Daten					
	$L^*=L^*_a$	a^*_a	b^*_a	$C^*_{ab,a}$	$h^*_{ab,a}$
RMa	47.15	84.64	37.25	92.48	24
JMa	91.37	-1.27	125.03	125.03	91
GMa	63.07	-114.28	25.35	117.06	167
G50B _{Ma}	59.47	-80.6	-33.45	87.28	203
B _{Ma}	49.01	3.65	-81.19	81.28	273
B50R _{Ma}	44.06	106.09	-73.93	129.32	325
N _{Ma}	10.99	0.0	0.0	0.0	0
W _{Ma}	95.41	0.0	0.0	0.0	0
RCIE	39.92	58.69	27.98	65.01	25
JCIE	81.26	-2.9	71.56	71.62	92
GCIE	52.23	-42.45	13.59	44.59	162
BCIE	30.57	1.35	-46.48	46.51	272

Dreiecks-Helligkeit t^*

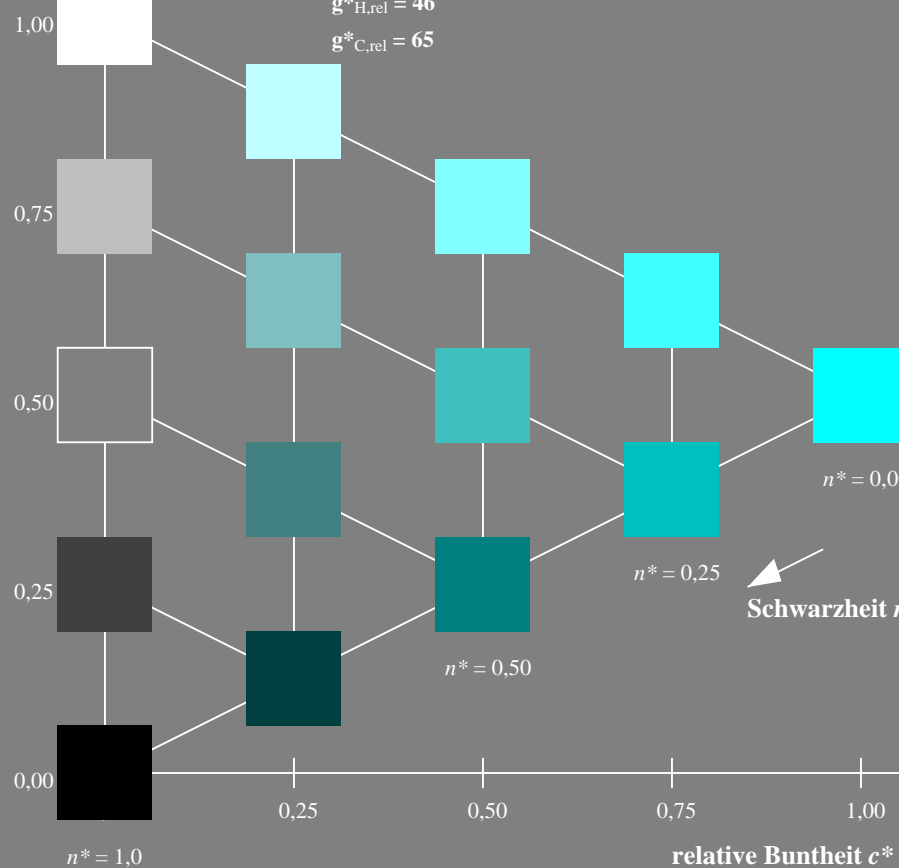
%Umfang

$u^*_{rel} = 149$

%Regularität

$g^*_{H,rel} = 46$

$g^*_{C,rel} = 65$



TG290-7, 5 stufige Reihen für konstanten CIELAB Buntton 203/360 = 0.563 (links)

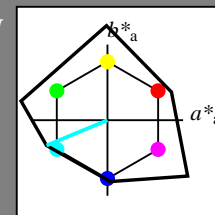
BAM-Prüfvorlage TG29; Farbmétrik-Systeme ORS18 & ORS18 input: $olv^* setrgbcolor$

D65: Koordinaten-Systeme von 5stufigen Farbreihen für 10 Bunttoninput: Startup (S) data dependend

Ausgabe: Farbmétrisches Reflexions-System NCS11

für Buntton $h^* = lab \cdot h = 203/360 = 0.563$
 $LAB \cdot LCH$, $LAB \cdot NCH$

D65: Buntton G50B
LCH*Ma: 59 87 203
rgb*Ma: 0.0 1.0 1.0



NCS11; adaptierte CIELAB-Daten					
	$L^*=L^*_a$	a^*_a	b^*_a	$C^*_{ab,a}$	$h^*_{ab,a}$
RMa	47.15	84.64	37.25	92.48	24
JMa	91.37	-1.27	125.03	125.03	91
GMa	63.07	-114.28	25.35	117.06	167
G50B _{Ma}	59.47	-80.6	-33.45	87.28	203
B _{Ma}	49.01	3.65	-81.19	81.28	273
B50R _{Ma}	44.06	106.09	-73.93	129.32	325
N _{Ma}	10.99	0.0	0.0	0.0	0
W _{Ma}	95.41	0.0	0.0	0.0	0
RCIE	39.92	58.69	27.98	65.01	25
JCIE	81.26	-2.9	71.56	71.62	92
GCIE	52.23	-42.45	13.59	44.59	162
BCIE	30.57	1.35	-46.48	46.51	272

CIELAB-Helligkeit L^*

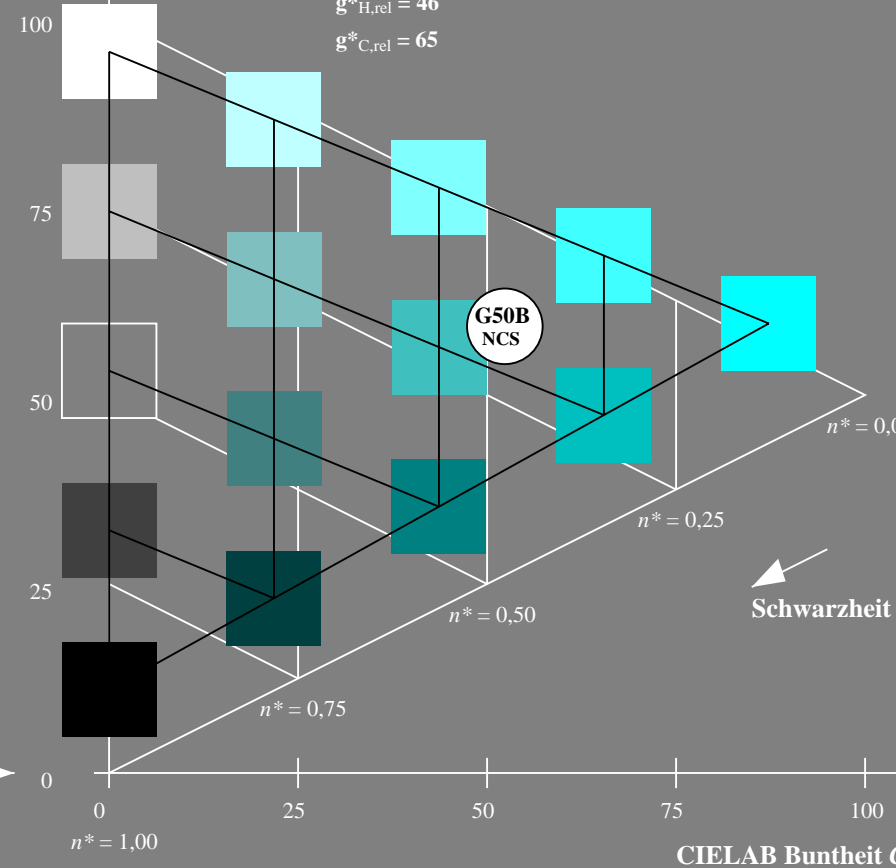
%Umfang

$u^*_{rel} = 149$

%Regularität

$g^*_{H,rel} = 46$

$g^*_{C,rel} = 65$

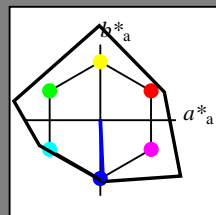


5 stufige Reihen für konstanten CIELAB Buntton 203/360 = 0.563 (rechts)

Eingabe: Farbmétrisches Reflexions-System NCS11

für Buntton $h^* = lab^*h = 273/360 = 0.757$
 lab^*tch und lab^*nch

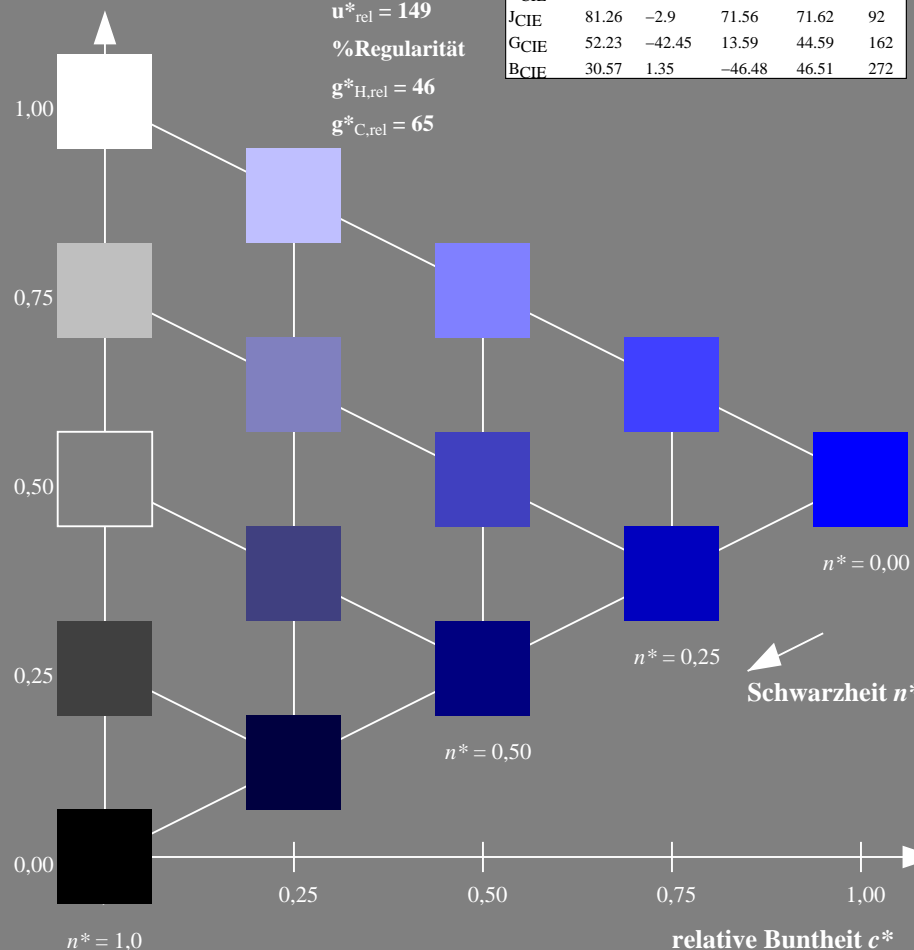
D65: Buntton B
LCH*Ma: 49 81 273
rgb*Ma: 0.0 0.0 1.0



NCS11; adaptierte CIELAB-Daten					
	$L^*=L^*_a$	a^*_a	b^*_a	$C^*_{ab,a}$	$h^*_{ab,a}$
RMa	47.15	84.64	37.25	92.48	24
JMa	91.37	-1.27	125.03	125.03	91
GMa	63.07	-114.28	25.35	117.06	167
G50BMa	59.47	-80.6	-33.45	87.28	203
BMa	49.01	3.65	-81.19	81.28	273
B50RMa	44.06	106.09	-73.93	129.32	325
NMa	10.99	0.0	0.0	0.0	0
WMa	95.41	0.0	0.0	0.0	0
RCIE	39.92	58.69	27.98	65.01	25
JCIE	81.26	-2.9	71.56	71.62	92
GCIE	52.23	-42.45	13.59	44.59	162
BCIE	30.57	1.35	-46.48	46.51	272

Dreiecks-Helligkeit t^*

%Umfang
 $u^*_{rel} = 149$
%Regularität
 $g^*_{H,rel} = 46$
 $g^*_{C,rel} = 65$

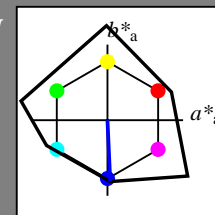


TG290-7, 5 stufige Reihen für konstanten CIELAB Buntton 273/360 = 0.757 (links)

Ausgabe: Farbmétrisches Reflexions-System NCS11

für Buntton $h^* = lab^*h = 273/360 = 0.757$
 LAB^*LCH , LAB^*NCH

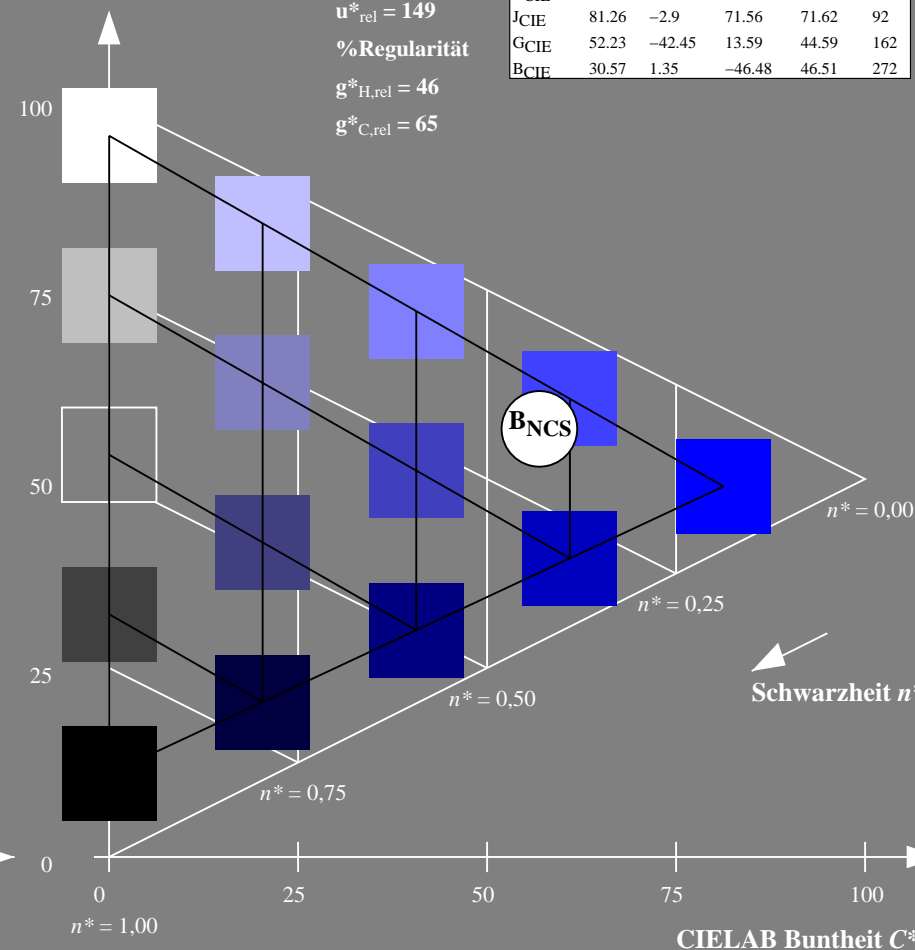
D65: Buntton B
LCH*Ma: 49 81 273
rgb*Ma: 0.0 0.0 1.0



NCS11; adaptierte CIELAB-Daten					
	$L^*=L^*_a$	a^*_a	b^*_a	$C^*_{ab,a}$	$h^*_{ab,a}$
RMa	47.15	84.64	37.25	92.48	24
JMa	91.37	-1.27	125.03	125.03	91
GMa	63.07	-114.28	25.35	117.06	167
G50BMa	59.47	-80.6	-33.45	87.28	203
BMa	49.01	3.65	-81.19	81.28	273
B50RMa	44.06	106.09	-73.93	129.32	325
NMa	10.99	0.0	0.0	0.0	0
WMa	95.41	0.0	0.0	0.0	0
RCIE	39.92	58.69	27.98	65.01	25
JCIE	81.26	-2.9	71.56	71.62	92
GCIE	52.23	-42.45	13.59	44.59	162
BCIE	30.57	1.35	-46.48	46.51	272

CIELAB-Helligkeit L^*

%Umfang
 $u^*_{rel} = 149$
%Regularität
 $g^*_{H,rel} = 46$
 $g^*_{C,rel} = 65$



5 stufige Reihen für konstanten CIELAB Buntton 273/360 = 0.757 (rechts)

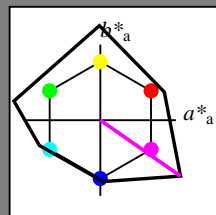
BAM-Prüfvorlage TG29; Farbmétrik-Systeme ORS18 & ORS18 input: $olv^* setrgbcolor$

D65: Koordinaten-Systeme von 5stufigen Farbreihen für 10 Buntton input: Startup (S) data dependend

Eingabe: Farbmimetrisches Reflexions-System NCS11

für Buntton $h^* = lab \cdot h = 325/360 = 0.903$
 $lab \cdot tch$ und $lab \cdot nch$

D65: Buntton B50R
LCH*Ma: 44 129 325
rgb*Ma: 1.0 0.0 1.0



NCS11; adaptierte CIELAB-Daten					
	$L^*=L^*_a$	a^*_a	b^*_a	$C^*_{ab,a}$	$h^*_{ab,a}$
RMa	47.15	84.64	37.25	92.48	24
JMa	91.37	-1.27	125.03	125.03	91
GMa	63.07	-114.28	25.35	117.06	167
G50BMa	59.47	-80.6	-33.45	87.28	203
BMa	49.01	3.65	-81.19	81.28	273
B50RMa	44.06	106.09	-73.93	129.32	325
NMa	10.99	0.0	0.0	0.0	0
WMa	95.41	0.0	0.0	0.0	0
RCIE	39.92	58.69	27.98	65.01	25
JCIE	81.26	-2.9	71.56	71.62	92
GCIE	52.23	-42.45	13.59	44.59	162
BCIE	30.57	1.35	-46.48	46.51	272

Dreiecks-Helligkeit t^*

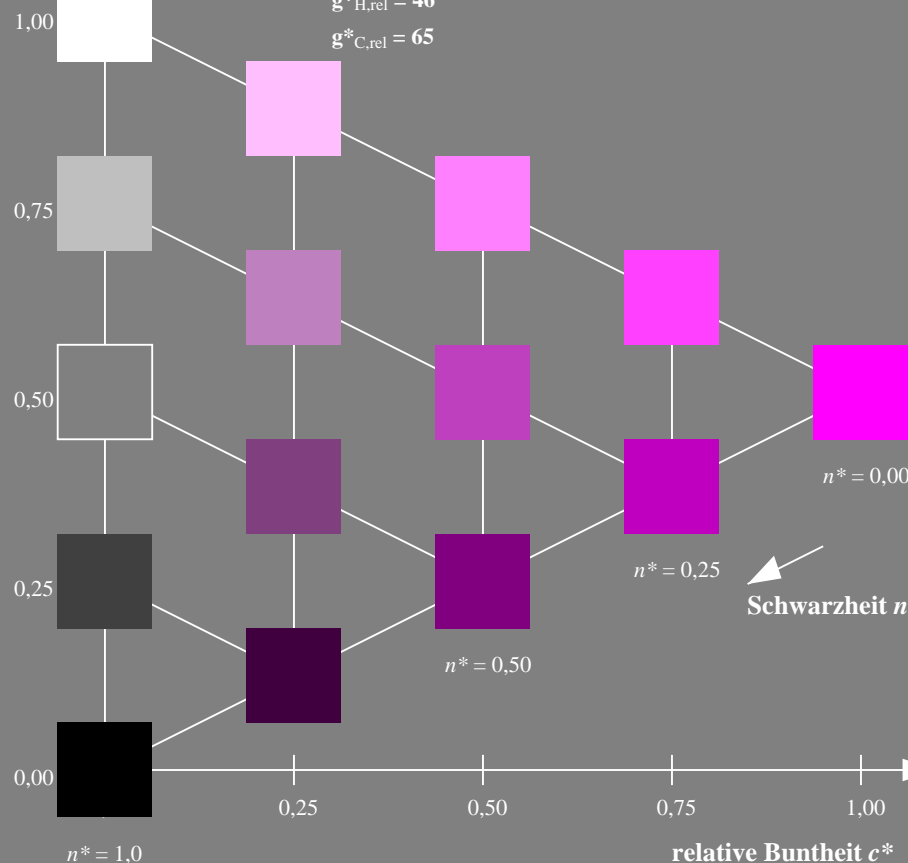
%Umfang

$u^*_{rel} = 149$

%Regularität

$g^*_{H,rel} = 46$

$g^*_{C,rel} = 65$

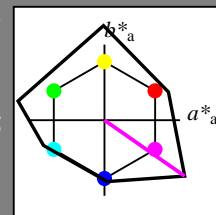


TG290-7, 5 stufige Reihen für konstanten CIELAB Buntton 325/360 = 0.903 (links)

Ausgabe: Farbmimetrisches Reflexions-System NCS11

für Buntton $h^* = lab \cdot h = 325/360 = 0.903$
 $LAB \cdot LCH$, $LAB \cdot NCH$

D65: Buntton B50R
LCH*Ma: 44 129 325
rgb*Ma: 1.0 0.0 1.0



NCS11; adaptierte CIELAB-Daten					
	$L^*=L^*_a$	a^*_a	b^*_a	$C^*_{ab,a}$	$h^*_{ab,a}$
RMa	47.15	84.64	37.25	92.48	24
JMa	91.37	-1.27	125.03	125.03	91
GMa	63.07	-114.28	25.35	117.06	167
G50BMa	59.47	-80.6	-33.45	87.28	203
BMa	49.01	3.65	-81.19	81.28	273
B50RMa	44.06	106.09	-73.93	129.32	325
NMa	10.99	0.0	0.0	0.0	0
WMa	95.41	0.0	0.0	0.0	0
RCIE	39.92	58.69	27.98	65.01	25
JCIE	81.26	-2.9	71.56	71.62	92
GCIE	52.23	-42.45	13.59	44.59	162
BCIE	30.57	1.35	-46.48	46.51	272

CIELAB-Helligkeit L^*

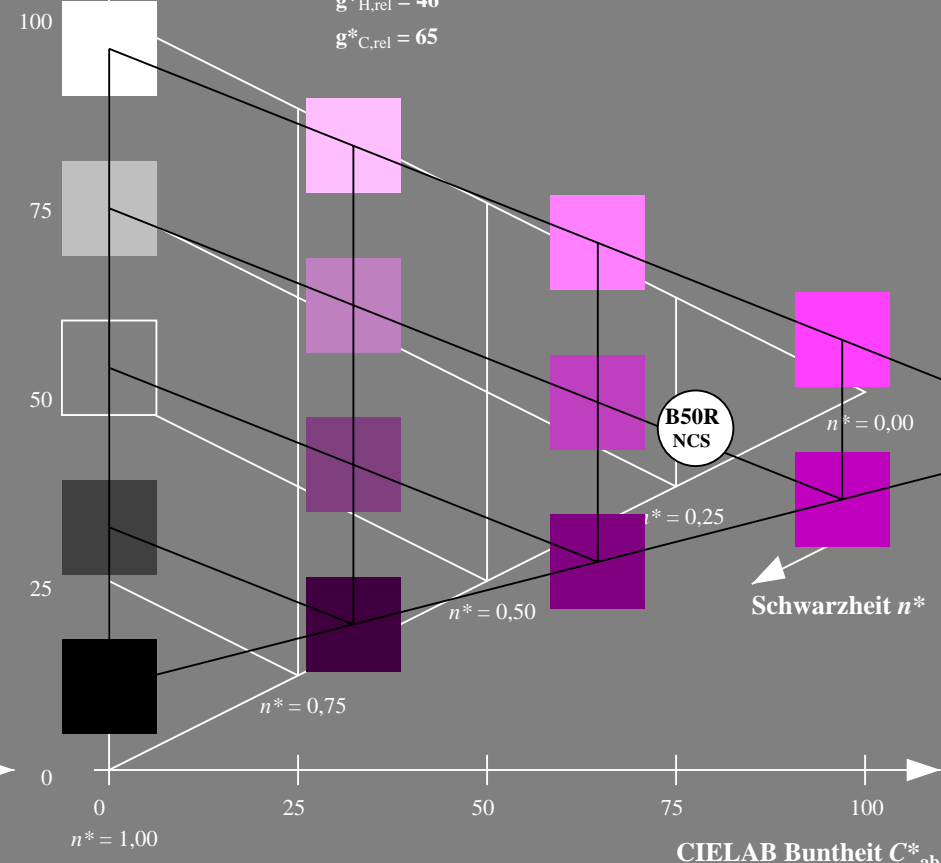
%Umfang

$u^*_{rel} = 149$

%Regularität

$g^*_{H,rel} = 46$

$g^*_{C,rel} = 65$



5 stufige Reihen für konstanten CIELAB Buntton 325/360 = 0.903 (rechts)

BAM-Prüfvorlage TG29; Farbmimetrik-Systeme ORS18 & ORS18 input: $olv^* setrgbcolor$

D65: Koordinaten-Systeme von 5stufigen Farbreihen für 10 Bunttoninput: *Startup (S) data dependend*

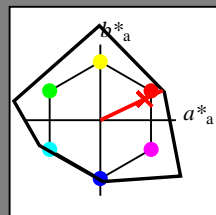
Eingabe: Farbmimetrisches Reflexions-System NCS11

für Buntton $h^* = lab^*h = 25/360 = 0.071$ lab^*tch und lab^*nch

D65: Buntton R

LCH*Ma: 48 91 25

rgb*Ma: 1.0 0.02 0.0



NCS11; adaptierte CIELAB-Daten

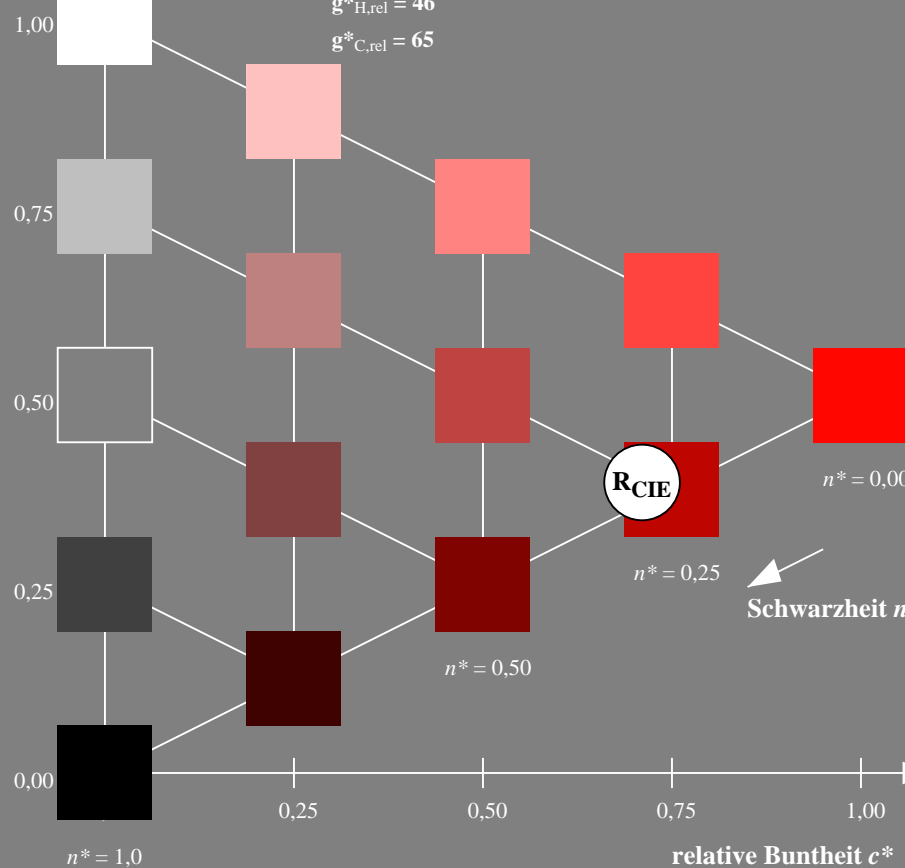
	$L^*=L^*_a$	a^*_a	b^*_a	$C^*_{ab,a}$	$h^*_{ab,a}$
RMa	47.15	84.64	37.25	92.48	24
JMa	91.37	-1.27	125.03	125.03	91
GMa	63.07	-114.28	25.35	117.06	167
G50B _{Ma}	59.47	-80.6	-33.45	87.28	203
B _{Ma}	49.01	3.65	-81.19	81.28	273
B50R _{Ma}	44.06	106.09	-73.93	129.32	325
N _{Ma}	10.99	0.0	0.0	0.0	0
W _{Ma}	95.41	0.0	0.0	0.0	0
RCIE	39.92	58.69	27.98	65.01	25
JCIE	81.26	-2.9	71.56	71.62	92
GCIE	52.23	-42.45	13.59	44.59	162
BCIE	30.57	1.35	-46.48	46.51	272

Dreiecks-Helligkeit t^*

%Umfang

 $u^*_{rel} = 149$

%Regularität

 $g^*_{H,rel} = 46$ $g^*_{C,rel} = 65$ 

TG290-7, 5 stufige Reihen für konstanten CIELAB Buntton 25/360 = 0.071 (links)

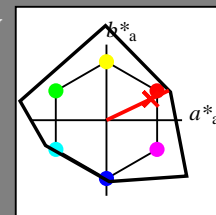
Ausgabe: Farbmimetrisches Reflexions-System NCS11

für Buntton $h^* = lab^*h = 25/360 = 0.071$ LAB^*LCH, LAB^*NCH

D65: Buntton R

LCH*Ma: 48 91 25

rgb*Ma: 1.0 0.02 0.0



NCS11; adaptierte CIELAB-Daten

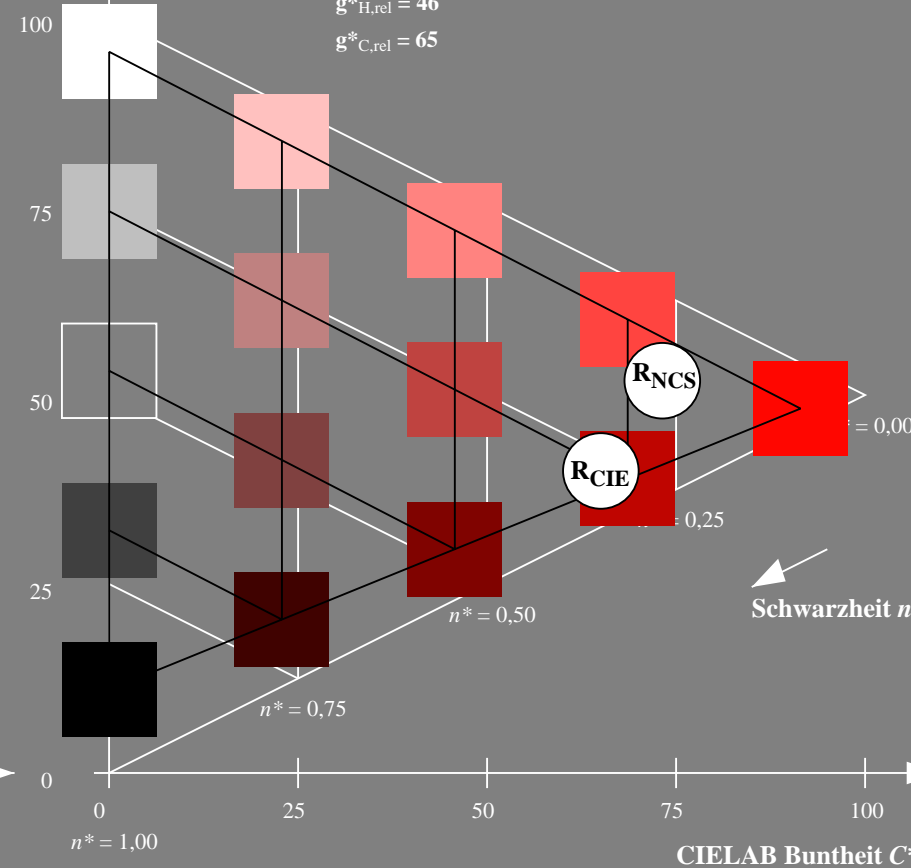
	$L^*=L^*_a$	a^*_a	b^*_a	$C^*_{ab,a}$	$h^*_{ab,a}$
RMa	47.15	84.64	37.25	92.48	24
JMa	91.37	-1.27	125.03	125.03	91
GMa	63.07	-114.28	25.35	117.06	167
G50B _{Ma}	59.47	-80.6	-33.45	87.28	203
B _{Ma}	49.01	3.65	-81.19	81.28	273
B50R _{Ma}	44.06	106.09	-73.93	129.32	325
N _{Ma}	10.99	0.0	0.0	0.0	0
W _{Ma}	95.41	0.0	0.0	0.0	0
RCIE	39.92	58.69	27.98	65.01	25
JCIE	81.26	-2.9	71.56	71.62	92
GCIE	52.23	-42.45	13.59	44.59	162
BCIE	30.57	1.35	-46.48	46.51	272

CIELAB-Helligkeit L^*

%Umfang

 $u^*_{rel} = 149$

%Regularität

 $g^*_{H,rel} = 46$ $g^*_{C,rel} = 65$ 

5 stufige Reihen für konstanten CIELAB Buntton 25/360 = 0.071 (rechts)

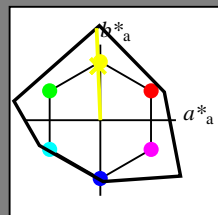
BAM-Prüfvorlage TG29; Farbmimetrische Systeme ORS18 & ORS18 input: $olv^* setrgbcolor$

D65: Koordinaten-Systeme von 5stufigen Farbreihen für 10 Bunttoninput: Startup (S) data dependend

Eingabe: Farbmétrisches Reflexions-System NCS11

für Buntton $h^* = lab \cdot h = 92/360 = 0.256$
 $lab \cdot tch$ und $lab \cdot nch$

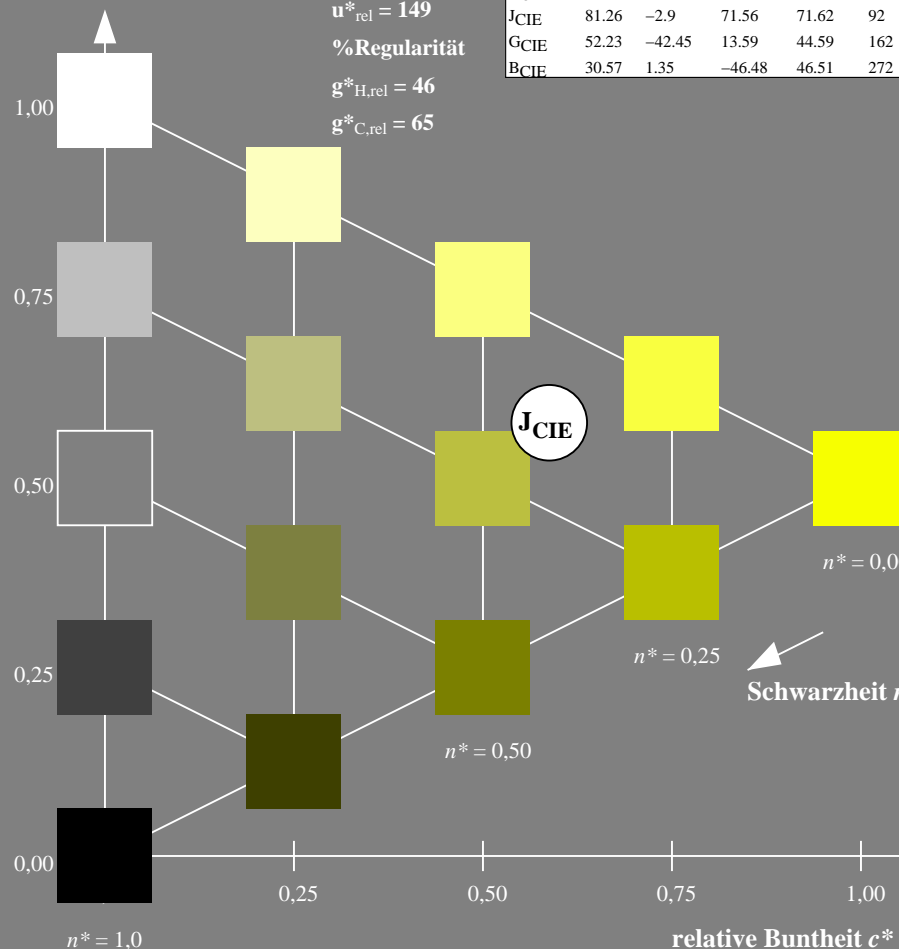
D65: Buntton J
LCH*Ma: 90 122 92
rgb*Ma: 0.97 1.0 0.0



NCS11; adaptierte CIELAB-Daten					
	$L^*=L^*_a$	a^*_a	b^*_a	$C^*_{ab,a}$	$h^*_{ab,a}$
RMa	47.15	84.64	37.25	92.48	24
JMa	91.37	-1.27	125.03	125.03	91
GMa	63.07	-114.28	25.35	117.06	167
G50B _{Ma}	59.47	-80.6	-33.45	87.28	203
B _{Ma}	49.01	3.65	-81.19	81.28	273
B50R _{Ma}	44.06	106.09	-73.93	129.32	325
N _{Ma}	10.99	0.0	0.0	0.0	0
W _{Ma}	95.41	0.0	0.0	0.0	0
RCIE	39.92	58.69	27.98	65.01	25
JCIE	81.26	-2.9	71.56	71.62	92
GCIE	52.23	-42.45	13.59	44.59	162
BCIE	30.57	1.35	-46.48	46.51	272

Dreiecks-Helligkeit t^*

%Umfang
 $u^*_{rel} = 149$
%Regularität
 $g^*_{H,rel} = 46$
 $g^*_{C,rel} = 65$

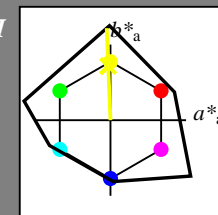


TG290-7, 5 stufige Reihen für konstanten CIELAB Buntton 92/360 = 0.256 (links)

Ausgabe: Farbmétrisches Reflexions-System NCS11

für Buntton $h^* = lab \cdot h = 92/360 = 0.256$
 $LAB \cdot LCH$, $LAB \cdot NCH$

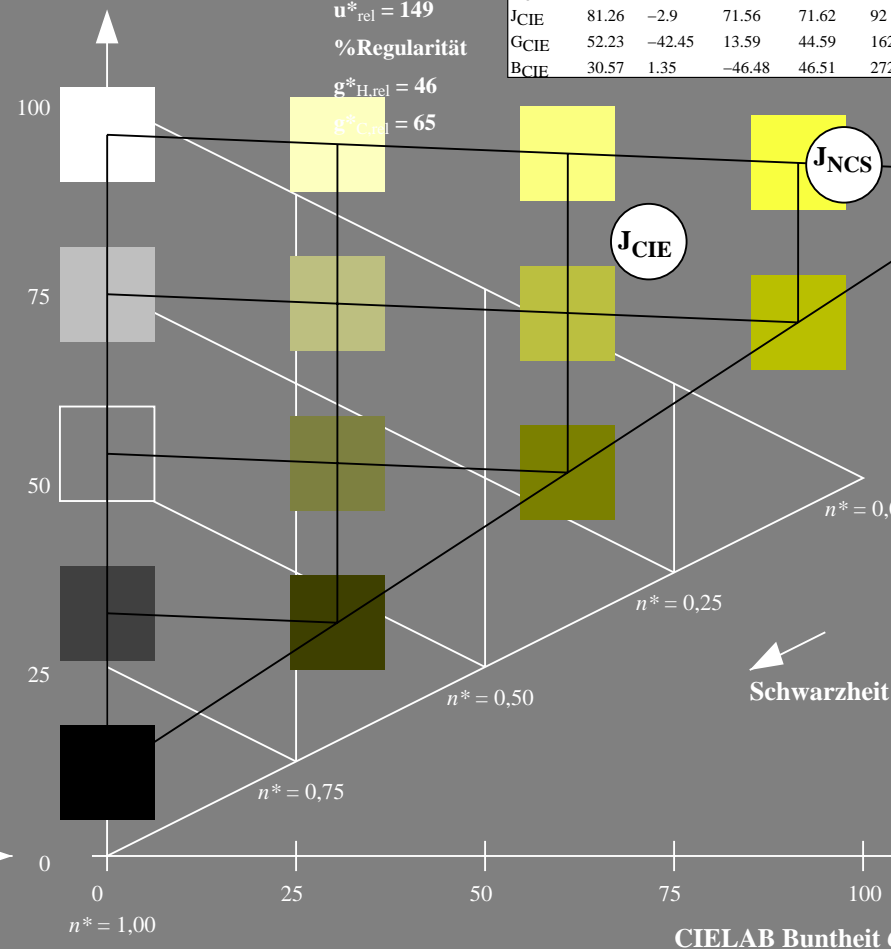
D65: Buntton J
LCH*Ma: 90 122 92
rgb*Ma: 0.97 1.0 0.0



NCS11; adaptierte CIELAB-Daten					
	$L^*=L^*_a$	a^*_a	b^*_a	$C^*_{ab,a}$	$h^*_{ab,a}$
RMa	47.15	84.64	37.25	92.48	24
JMa	91.37	-1.27	125.03	125.03	91
GMa	63.07	-114.28	25.35	117.06	167
G50B _{Ma}	59.47	-80.6	-33.45	87.28	203
B _{Ma}	49.01	3.65	-81.19	81.28	273
B50R _{Ma}	44.06	106.09	-73.93	129.32	325
N _{Ma}	10.99	0.0	0.0	0.0	0
W _{Ma}	95.41	0.0	0.0	0.0	0
RCIE	39.92	58.69	27.98	65.01	25
JCIE	81.26	-2.9	71.56	71.62	92
GCIE	52.23	-42.45	13.59	44.59	162
BCIE	30.57	1.35	-46.48	46.51	272

CIELAB-Helligkeit L^*

%Umfang
 $u^*_{rel} = 149$
%Regularität
 $g^*_{H,rel} = 46$
 $g^*_{C,rel} = 65$



5 stufige Reihen für konstanten CIELAB Buntton 92/360 = 0.256 (rechts)

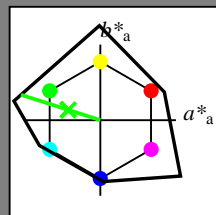
BAM-Prüfvorlage TG29; Farbmétrik-Systeme ORS18 & ORS18 input: $olv^* setrgbcolor$

D65: Koordinaten-Systeme von 5stufigen Farbreihen für 10 Buntton input: Startup (S) data dependend

Eingabe: Farbmimetrisches Reflexions-System NCS11

für Buntton $h^* = lab^*h = 162/360 = 0.451$
 lab^*tch und lab^*nh

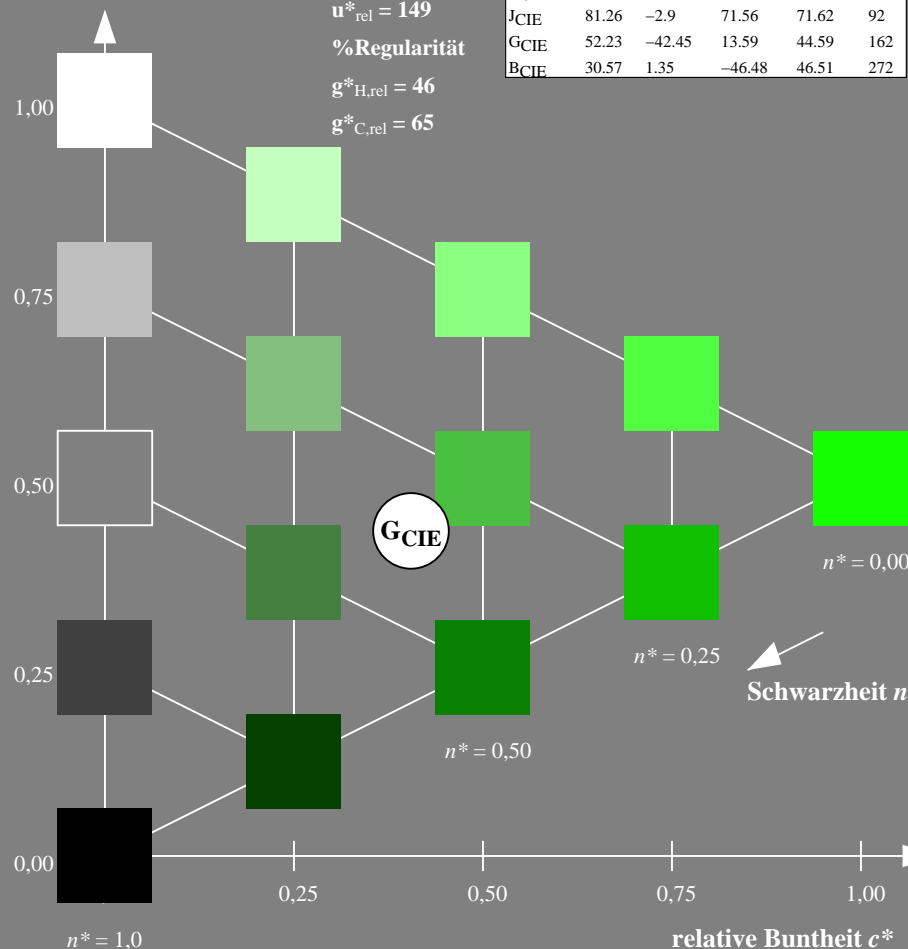
D65: Buntton G
LCH*Ma: 65 110 162
rgb*Ma: 0.08 1.0 0.0



NCS11; adaptierte CIELAB-Daten					
	$L^*=L^*_a$	a^*_a	b^*_a	$C^*_{ab,a}$	$h^*_{ab,a}$
RMa	47.15	84.64	37.25	92.48	24
JMa	91.37	-1.27	125.03	125.03	91
GMa	63.07	-114.28	25.35	117.06	167
G50BMa	59.47	-80.6	-33.45	87.28	203
BMa	49.01	3.65	-81.19	81.28	273
B50RMa	44.06	106.09	-73.93	129.32	325
NMa	10.99	0.0	0.0	0.0	0
WMa	95.41	0.0	0.0	0.0	0
RCIE	39.92	58.69	27.98	65.01	25
JCIE	81.26	-2.9	71.56	71.62	92
GCIE	52.23	-42.45	13.59	44.59	162
BCIE	30.57	1.35	-46.48	46.51	272

Dreiecks-Helligkeit t^*

%Umfang
 $u^*_{rel} = 149$
%Regularität
 $g^*_{H,rel} = 46$
 $g^*_{C,rel} = 65$

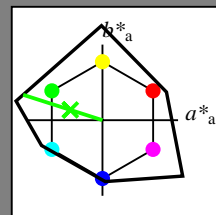


TG290-7, 5 stufige Reihen für konstanten CIELAB Buntton 162/360 = 0.451 (links)

Ausgabe: Farbmimetrisches Reflexions-System NCS11

für Buntton $h^* = lab^*h = 162/360 = 0.451$
 LAB^*LCH , LAB^*NCH

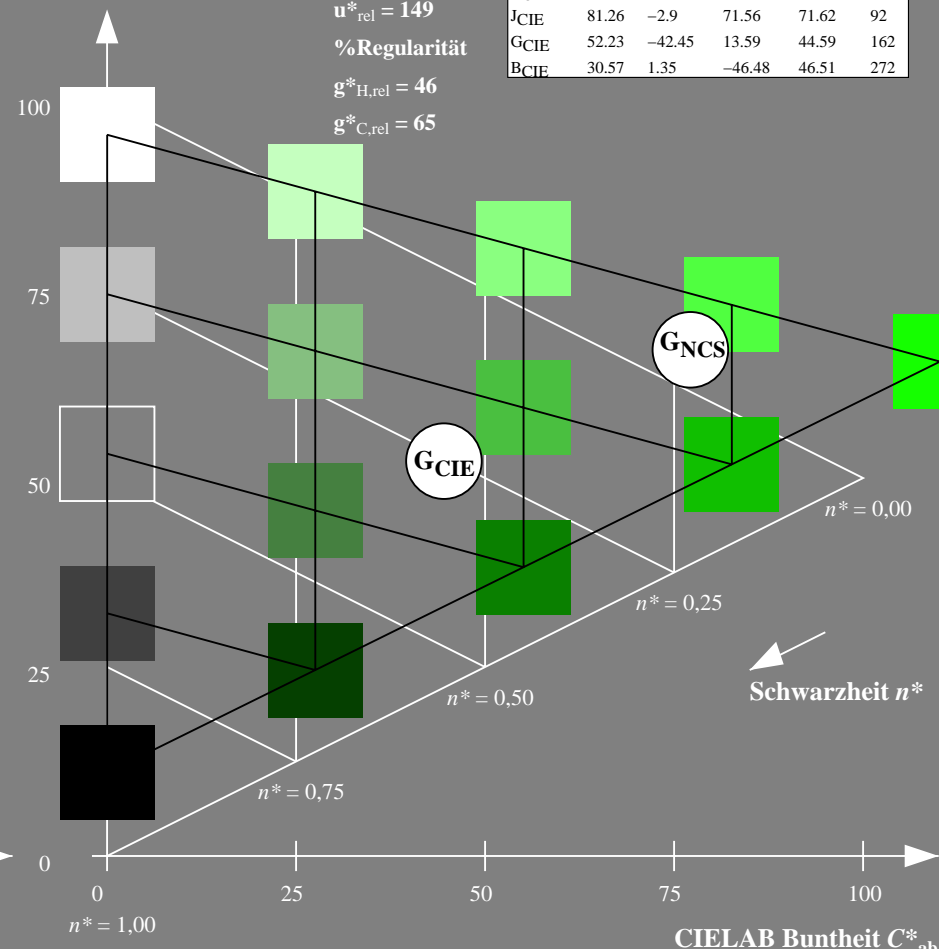
D65: Buntton G
LCH*Ma: 65 110 162
rgb*Ma: 0.08 1.0 0.0



NCS11; adaptierte CIELAB-Daten					
	$L^*=L^*_a$	a^*_a	b^*_a	$C^*_{ab,a}$	$h^*_{ab,a}$
RMa	47.15	84.64	37.25	92.48	24
JMa	91.37	-1.27	125.03	125.03	91
GMa	63.07	-114.28	25.35	117.06	167
G50BMa	59.47	-80.6	-33.45	87.28	203
BMa	49.01	3.65	-81.19	81.28	273
B50RMa	44.06	106.09	-73.93	129.32	325
NMa	10.99	0.0	0.0	0.0	0
WMa	95.41	0.0	0.0	0.0	0
RCIE	39.92	58.69	27.98	65.01	25
JCIE	81.26	-2.9	71.56	71.62	92
GCIE	52.23	-42.45	13.59	44.59	162
BCIE	30.57	1.35	-46.48	46.51	272

CIELAB-Helligkeit L^*

%Umfang
 $u^*_{rel} = 149$
%Regularität
 $g^*_{H,rel} = 46$
 $g^*_{C,rel} = 65$

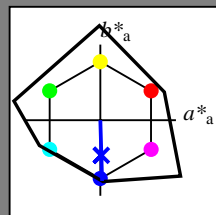


5 stufige Reihen für konstanten CIELAB Buntton 162/360 = 0.451 (rechts)

Eingabe: Farbmétrisches Reflexions-System NCS11

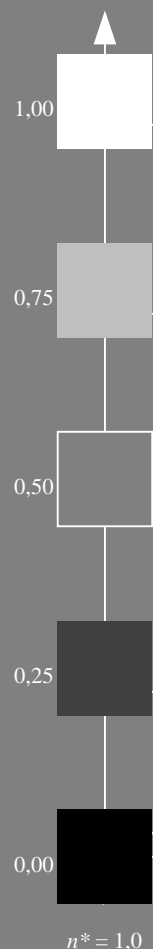
für Buntton $h^* = lab \cdot h = 272/360 = 0,755$
 $lab \cdot tch$ und $lab \cdot nch$

D65: Buntton B
LCH*Ma: 49 80 272
rgb*Ma: 0.0 0.02 1.0



NCS11; adaptierte CIELAB-Daten					
	$L^*=L^*_a$	a^*_a	b^*_a	$C^*_{ab,a}$	$h^*_{ab,a}$
RMa	47.15	84.64	37.25	92.48	24
JMa	91.37	-1.27	125.03	125.03	91
GMa	63.07	-114.28	25.35	117.06	167
G50BMa	59.47	-80.6	-33.45	87.28	203
BMa	49.01	3.65	-81.19	81.28	273
B50RMa	44.06	106.09	-73.93	129.32	325
NMa	10.99	0.0	0.0	0.0	0
WMa	95.41	0.0	0.0	0.0	0
RCIE	39.92	58.69	27.98	65.01	25
JCIE	81.26	-2.9	71.56	71.62	92
GCIE	52.23	-42.45	13.59	44.59	162
BCIE	30.57	1.35	-46.48	46.51	272

Dreiecks-Helligkeit t^*



%Umfang
 $u^*_{rel} = 149$
%Regularität
 $g^*_{H,rel} = 46$
 $g^*_{C,rel} = 65$

$n^* = 0,00$

$n^* = 0,25$

$n^* = 0,50$

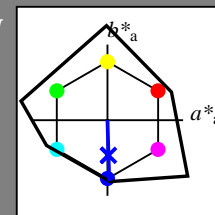
relative Buntheit c^*

TG290-7, 5 stufige Reihen für konstanten CIELAB Buntton $272/360 = 0,755$ (links)

Ausgabe: Farbmétrisches Reflexions-System NCS11

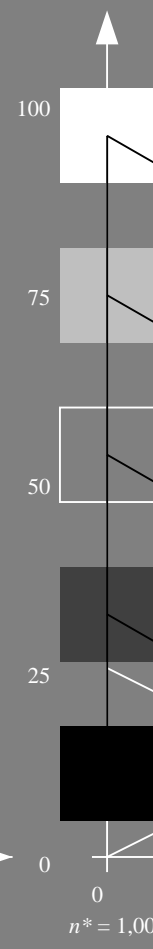
für Buntton $h^* = lab \cdot h = 272/360 = 0,755$
 $LAB \cdot LCH$, $LAB \cdot NCH$

D65: Buntton B
LCH*Ma: 49 80 272
rgb*Ma: 0.0 0.02 1.0



NCS11; adaptierte CIELAB-Daten					
	$L^*=L^*_a$	a^*_a	b^*_a	$C^*_{ab,a}$	$h^*_{ab,a}$
RMa	47.15	84.64	37.25	92.48	24
JMa	91.37	-1.27	125.03	125.03	91
GMa	63.07	-114.28	25.35	117.06	167
G50BMa	59.47	-80.6	-33.45	87.28	203
BMa	49.01	3.65	-81.19	81.28	273
B50RMa	44.06	106.09	-73.93	129.32	325
NMa	10.99	0.0	0.0	0.0	0
WMa	95.41	0.0	0.0	0.0	0
RCIE	39.92	58.69	27.98	65.01	25
JCIE	81.26	-2.9	71.56	71.62	92
GCIE	52.23	-42.45	13.59	44.59	162
BCIE	30.57	1.35	-46.48	46.51	272

CIELAB-Helligkeit L^*



%Umfang
 $u^*_{rel} = 149$
%Regularität
 $g^*_{H,rel} = 46$
 $g^*_{C,rel} = 65$

$n^* = 0,00$

$n^* = 0,25$

$n^* = 0,50$

$n^* = 0,75$

$n^* = 1,00$

CIELAB Buntheit C^*_{ab}

5 stufige Reihen für konstanten CIELAB Buntton $272/360 = 0,755$ (rechts)

BAM-Prüfvorlage TG29; Farbmétrik-Systeme ORS18 & ORS18 input: $olv^* setrgbcolor$

D65: Koordinaten-Systeme von 5stufigen Farbreihen für 10 Bunttoninput: Startup (S) data dependend